

논문 2011-48SD-6-1

Co-sputtered $\text{HfO}_2\text{-Al}_2\text{O}_3$ 을 게이트 절연막으로 적용한 IZO 기반 Oxide-TFT 소자의 성능 향상

(Enhanced Device Performance of IZO-based oxide-TFTs with
Co-sputtered $\text{HfO}_2\text{-Al}_2\text{O}_3$ Gate Dielectrics)

손 희 근*, 양 정 일*, 조 동 규*, 우 상 현*, 이 동 희*, 이 문 석**

(Heegeon Son, Jungil Yang, Dongkyu Cho, Sanghyun Woo, Donghee Lee, and Moonsuk Yi)

요 약

투명 산화물 반도체 (Transparent Oxide-TFT)를 활성층과 소스/드레인, 게이트 전극층으로 동시에 사용한 비결정 indium zinc oxide (a-IZO), 절연층으로 co-sputtered $\text{HfO}_2\text{-Al}_2\text{O}_3$ (HfAlO)을 적용하여 실온에서 RF-magnetron 스퍼터 공정에 의해 제작하였다. TFT의 게이트 절연막으로써 HfO_2 는 그 높은 유전상수 (>20)에도 불구하고 미세결정구조와 작은 에너지 밴드 갭 (5.31eV)으로 부터 기인한 거친 계면특성, 높은 누설전류의 단점을 가지고 있다. 본 연구에서는, 어떠한 추가적인 열처리 공정 없이 co-sputtering에 의해 HfO_2 와 Al_2O_3 를 동시에 증착함으로써 구조적, 전기적 특성이 TFT의 절연막으로 더욱 적합하게 향상되어진 HfO_2 박막의 변화를 x-ray diffraction (XRD), atomic force microscopy (AFM) and spectroscopic ellipsometer (SE)를 통해 분석하였다. XRD 분석은 기존 HfO_2 의 미세결정 구조가 Al_2O_3 와의 co-sputter에 의해 비결정 구조로 변한 것을 확인 시켜 주었고, AFM 분석을 통해 HfO_2 의 표면 거칠기를 비교할 수 있는 RMS 값이 2.979 nm인 것에 반해 HfAlO의 경우 0.490 nm로 향상된 것을 확인하였다. 또한 SE 분석을 통해 HfO_2 의 에너지 밴드 갭 5.17 eV이 HfAlO의 에너지 밴드 갭 5.42 eV로 향상 되어진 것을 알 수 있었다. 자유 전자 농도와 그에 따른 비저항도를 적절하게 조절한 활성층/전극층으로써의 IZO 물질과 게이트 절연층으로써 co-sputtered HfAlO를 적용하여 제작한 Oxide-TFT의 전기적 특성은 이동도 $10\text{cm}^2/\text{V}\cdot\text{s}$ 이상, 문턱전압 2 V 이하, 전류점별비 10^5 이상, 최대 전류량 2 mA 이상을 보여주었다.

Abstract

A transparent oxide thin film transistors (Transparent Oxide-TFT) have been fabricated by RF magnetron sputtering at room temperature using amorphous indium zinc oxide (a-IZO) as both of active channel and source/drain, gate electrodes and co-sputtered $\text{HfO}_2\text{-Al}_2\text{O}_3$ (HfAlO) as gate dielectric. In spite of its high dielectric constant (>20), HfO_2 has some drawbacks including high leakage current and rough surface morphologies originated from small energy band gap (5.31eV) and microcrystalline structure. In this work, the incorporation of Al_2O_3 into HfO_2 was obtained by co-sputtering of HfO_2 and Al_2O_3 without any intentional substrate heating and its structural and electrical properties were investigated by x-ray diffraction (XRD), atomic force microscopy (AFM) and spectroscopic ellipsometer (SE) analyses. The XRD studies confirmed that the microcrystalline structures of HfO_2 were transformed to amorphous structures of HfAlO. By AFM analysis, HfAlO films (0.490nm) were considerably smoother than HfO_2 films (2.979nm) due to their amorphous structure. The energy band gap (E_g) deduced by spectroscopic ellipsometer was increased from 5.17eV (HfO_2) to 5.42eV (HfAlO). The electrical performances of TFTs which are made of well-controlled active/electrode IZO materials and co-sputtered HfAlO dielectric material, exhibited a field effect mobility of more than $10\text{cm}^2/\text{V}\cdot\text{s}$, a threshold voltage of ~ 2 V, an $I_{\text{on/off}}$ ratio of $>10^5$, and a max on-current of >2 mA.

Keywords : Oxide TFT, IZO, HfO_2 , HfAlO, Transparent TFT

* 학생회원, ** 정회원, 부산대학교
(School of Electrical Engineering, Pusan National
University)
접수일자: 2010년12월29일, 수정완료일: 2011년6월1일

I. 서 론

최근 전통적인 Si 기반 TFT에 비해 두드러진 전기

적 특성을 가지는 산화물 반도체 (Semiconductor Oxides)를 적용한 투명 박막 트랜지스터 (Transparent-TFT)가 많은 관심을 받고 있다. 특히 ZnO, ZTO, IZO, IGZO와 같은 ZnO 기반 산화물 반도체는 높은 전자의 이동도 ($>10 \text{ cm}^2/\text{V} \cdot \text{s}$), 가시영역에서의 투명성, 소자 안정성에서 좋은 재료적 특성을 가지는데, 이 들을 적용하여 제작한 Oxide-TFT 는 대면적 소자에 적용 가능한 전통적인 물리적 증착방식, 즉 실온의 스퍼터 공정에서도 좋은 특성을 유지한다.^[1~5] 이에 이들 산화물 반도체의 Disply 혹은 여타 광소자로 적용하리라는 가능성이 이제는 점차 현실화 되고 있는 시점인 것이다.

대부분 산화물 박막트랜지스터의 게이트 절연막으로 쓰이는 SiO_2 , Si_3N_4 는 다른 고유전 절연체에 비해 낮은 유전상수를 가져 그에 따른 소자의 전력소비도 더 많다.^[6~7] 이에 비해 고유전 절연체를 게이트 절연막으로 적용한 산화물 박막트랜지스터의 경우 더 얇은 절연 박막의 두께에서도 낮은 구동전압을 가져 소비전력을 줄여줄 뿐 아니라 다른 산화물 반도체와 마찬가지로 상온의 스퍼터 공정으로 증착이 가능해 Oxide-TFT의 투명성과 유연 기판 적용 특성을 유지시킬 수 있다.^[8~9]

현재 다양한 분야에서 활발히 연구되고 있는 hafnium oxide (HfO_2) 는 첫째, 높은 유전 상수 (>20), 둘째, 양의 band off-set을 만들어 주는 ZnO 기반 반도체보다 넓은 에너지 갭 ($>5 \text{ eV}$) 셋째, 가시영역에서의 투명한 재료적 특성으로 다른 고유전 절연체 중에서도 Oxide-TFT의 게이트 절연막으로 가장 주목받는 물질이다.^[10~11] 한편 최근 연구에 따르면 HfO_2 를 Al_2O_3 와 함께 Co-sputtering 으로 동시에 증착할 경우, 기존 HfO_2 의 결정구조를 비결정 구조로 바꿀 수 있을 뿐 아니라 기존 HfO_2 의 에너지 밴드 갭 또한 더 커질 수 있다고 하였는데^[12~13], 이를 Oxide-TFT의 게이트 절연막으로 적용 시 소자의 성능을 향상 시킬 수 있을 거라 기대된다.

본 연구에서는 Co-sputtered $\text{HfO}_2\text{-Al}_2\text{O}_3$ (이하 HfAlO) 절연막을 제작하여 HfO_2 에 비해 향상되어진 물질의 구조적, 전기적 특성 변화를 몇 가지 분석을 통해 수행한 후, 이를 산소 유량만을 달리해 반도체층, 소스/드레인, 게이트 전극층으로 동시에 사용된 IZO 기반 Oxide-TFT의 게이트 절연막으로 적용, T-TFT 소자의 전기적 특성 변화를 분석하였다.

II. 실험 방법

본 연구를 위해 제작된 완전히 투명한 TFT 는 별도의 의도적인 열처리 공정 없이 ITO (Indium Tin Oxide)가 코팅된 유리기판 위에 RF-magnetron sputtering에 의해서만 절연층, 반도체층, 전극층의 각 박막이 증착 되어졌다. 먼저 불필요한 면저항을 최소화 하기 위해 전통적인 photo-lithography 공정을 통해 ITO의 원하는 패턴을 형성하였고, 이후 절연층과 반도체층, 소스/드레인, 게이트 전극층이 순차적으로 스퍼터 증착되어졌는데 이 때 반도체층과 소스/드레인, 게이트 전극층은 모두 이원성분계 amorphous $\text{In}_2\text{O}_3\text{-ZnO}$ (a-IZO) 물질로 이루어 졌다. 이는 같은 스퍼터 타겟을 이용해 다른 모든 공정 조건은 같게 유지한 채 산소유량만을 달리해 a-IZO의 자유캐리어 농도를 조절, 비저항도를 달리해 증착한 것인데 여기서 타겟-기판거리, RF-power, 공정진공도는 각각 6 cm, 50 W, 1 mTorr 로 동일하며 소스/드레인, 게이트 전극층에 대해서는 Ar 가스만을 20 SCCM을 사용한 반면, 반도체층에 대해서는 Ar 가스 20 SCCM을 가해 주면서 O_2 가스 0.8 SCCM을 함께 사용하였다. 측정된 소스/드레인, 게이트 전극층의 a-IZO의 자유 전자 농도는 약 $10^{20}/\text{cm}^3$ 이상, 비저항도 $10^{-3} \Omega \cdot \text{cm}$ 이하 이고 반도체층 a-IZO의 자유 전자 농도는 약 $10^{18}/\text{cm}^3$, 비저항도 $1\sim 5 \Omega \cdot \text{cm}$ 였다.

게이트 절연막으로 쓰인 HfO_2 는 구조적, 전기적 특성 변화를 분석하기 위해 세 가지 조건으로 달리해 각각 증착되어졌다. 먼저 HfO_2 sputtering 증착 시 Ar 가스를 20 SCCM을 가해줘 절연박막을 증착하였고, 다음으로 Ar 가스 뿐 아니라 O_2 가스를 0.1 SCCM 가해줘 HfO_2 절연막을 증착하였으며 마지막으로 Co-sputtered $\text{HfO}_2\text{-Al}_2\text{O}_3$ 절연막을 증착하였는데, 이 때 HfO_2 타겟의 RF-power 는 75 W, Al_2O_3 타겟의 RF-power 는 50 W, Ar, O_2 가스 유량비는 20 : 0.2 SCCM을 사용하였다. 모든 TFT 각 층의 박막은 shadow-mask를 이용하여 선택적, 그리고 순차적으로 스퍼터 공정에 의해 증착 되어졌으며 제작된 Oxide-TFT의 모식도를 그림 1에 나타내었다.

제작된 HfO_2 와 Co-sputtered $\text{HfO}_2\text{-Al}_2\text{O}_3$ 박막의 구조적, 전기적 특성 변화 분석을 위해 XRD (X-ray diffraction), AFM (Atomic force microscopy), SE (Spectroscopic ellipsometer) 분석이 수행 되어졌으며,

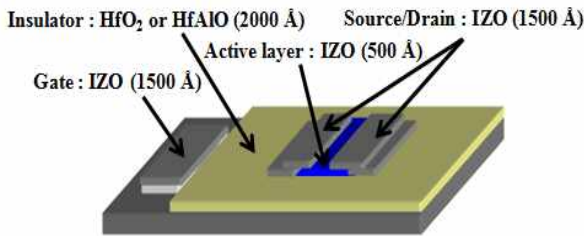


그림 1. 본 연구에 사용되어진 Oxide-TFT 의 구조
Fig. 1. Schematic of Oxide-TFT used in this study.

이 후 마지막으로 반도체 파라미터 분석기를 이용해 앞에서 언급된 반도체층, 전극층, 절연층을 적용한 Oxide-TFT의 전기적 특성변화를 분석하였다.

III. 본론(결과 및 토의)

1. HfO₂, Co-sputtered HfAlO 박막 특성 분석

일반적으로 HfO₂의 스퍼터 증착 시 가해주는 적절한 O₂ 유량은 박막의 형성 시 발생하는 산소 결핍을 보상 해주어 O₂ 가스를 가해주지 않은 박막에 비해 누설전류를 줄일 수 있으나 또한 너무 많은 O₂ 가스 유량은 negative ion bombardment의 영향으로 누설전류를 다시 증가시킬 수 있다.^[14~15] 이에 우리는 순수 Ar 가스만을 스퍼터 반응성 기체로 사용한 HfO₂ 증착 시 Ar : O₂ 가스 유량 20 : 0.1 SCCM을 가해줘 증착한 HfO₂ 그리고 Co-sputtered HfO₂-Al₂O₃ 박막을 각각 증착하여 그 구조적, 전기적 특성을 비교하였다.

다른 조건으로 증착되어진 HfO₂와 Co-sputtered HfO₂-Al₂O₃ 절연막의 결정성 변화를 알아보기 위한 XRD 분석을 그림 2에 나타내었다. 나타난 바와 같이

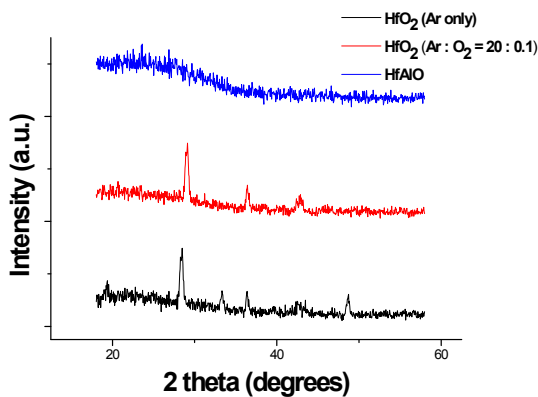
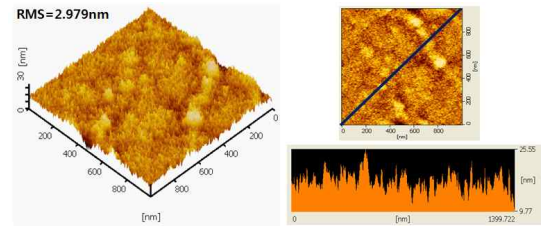
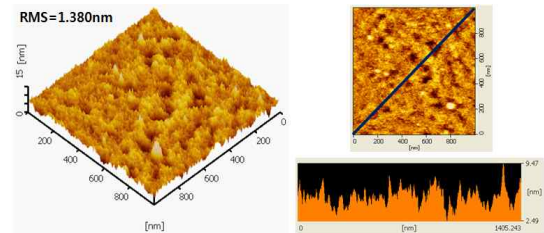


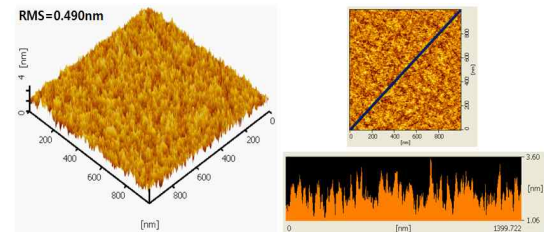
그림 2. HfO₂와 co-sputtered HfO₂-Al₂O₃ 의 박막의 XRD 패턴
Fig. 2. XRD patterns of HfO₂ films and co-sputtered HfO₂-Al₂O₃.



(a)



(b)



(c)

그림 3. AFM 촬영 표면 이미지 (1μm×1μm) (a) HfO₂ (Ar gas only) (b) HfO₂ (Ar:O₂=20:0.1) (c) Co-sputtered HfO₂-Al₂O₃

Fig. 3. AFM surface images (a) HfO₂ (Ar gas only) (b) HfO₂ (Ar:O₂=20:0.1) (c) Co-sputtered HfO₂-Al₂O₃.

두 HfO₂ 박막 (using Ar gas only, Ar:O₂=20:0.1 SCCM)은 상온의 스퍼터 증착 시 2 theta, 약 28° 에서 강한 peak을 가져 monoclinic 구조의 미세결정 구조임을 알 수 있었던 반면, Co-sputtered HfO₂-Al₂O₃ 박막의 경우 비결정 구조로 어떤 각에서도 peak 이 검출되지 않았는데, 이는 Al₂O₃가 HfO₂의 결정화를 막아주었을 거라 생각되어진다.

그림 3은 HfO₂ (a, b), Co-sputtered HfO₂-Al₂O₃ (c) 절연박막의 표면 거칠기 분석을 위한 AFM 촬영 이미지이다. 나타난 바와 같이 Ar 가스만을 이용해 제작한 HfO₂ 박막의 RMS (Root Mean Square) 값이 2.979 nm를 갖는 반면 Co-sputtered HfO₂-Al₂O₃ 박막의 경우 비결정성 구조를 가지는 만큼 표면 거칠기를 비교할 수 있는 RMS 값이 0.490 nm 만큼 더 낮아진 것을 확인할 수 있었다. 이런 Co-sputtered HfO₂-Al₂O₃의 더 부드러운 표면 거칠기는 전자의 이동에 영향을 줄 수 있는 절연막과 활성층 사이의 계면 특성을 향상시켜, 결과적

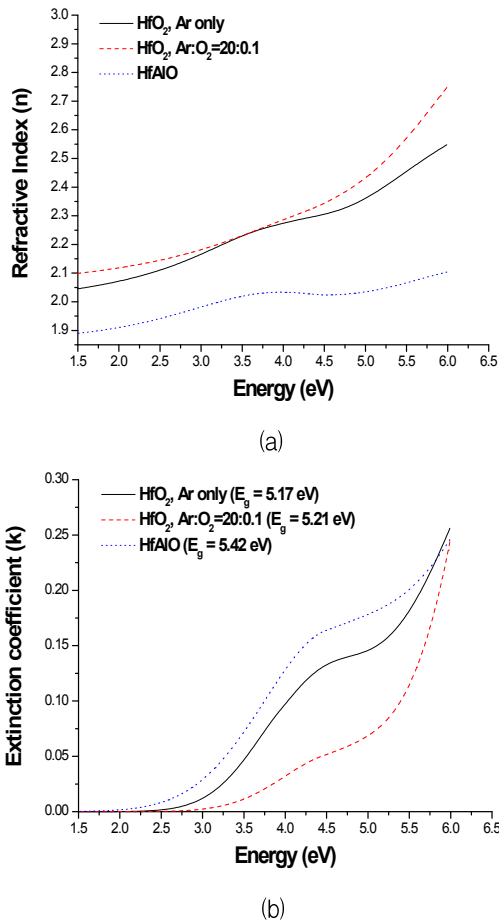


그림 4. SE 분석을 통한 파장 (에너지 갭) 에 따른 굴절율 (a), 소광계수 (b) 의 그래프, 그래프 (b) 에 SE 분석에 의해 구해진 에너지 밴드 갭 표기

Fig. 4. (a) Refractive index and (b) extinction coefficient obtained from SE simulation, In (b) present the energy band gap (E_g) values determined by SE

으로 TFT 특성에 긍정적인 영향을 미칠 것이다.

그림 4는 HfO_2 와 Co-sputtered $\text{HfO}_2\text{-Al}_2\text{O}_3$ 절연막의 에너지 갭 변화를 보여주는 파장 (에너지 갭)에 따른 굴절율 (n) 과 소광계수 (k)의 그래프 (각각 a, b)이다. 분석은 SE (Spectroscopic ellipsometer)를 통해 파장에 따른 $\psi\text{-}\Delta$ 값의 스펙트럼을 측정 후 tauc-lorentz 함수와 gaussian 함수로 이를 분석하였다. 파장에 따른 k의 값이 0에서 서서히 커지다가 약 5 eV에서 급격히 커지는 부분이 광의 흡수가 일어나는 곳이고, 이를 에너지 밴드 갭으로 봤을 때 순수 Ar 가스만을 사용한 HfO_2 의 경우 에너지 밴드 갭이 5.17 eV 로 측정되었고, Co-sputtered $\text{HfO}_2\text{-Al}_2\text{O}_3$ 의 경우 5.42 eV 로 0.25 eV 만큼 더 커진 것을 확인할 수 있었다. 이것을 Oxide-TFT의 절연막막으로 적용했을 시, 더 넓어진 절연막의 에너지 밴드 갭은 활성층으로부터의 전자

tunneling 현상을 기존 HfO_2 에 비해 효과적으로 막아주어 게이트 누설전류를 더 줄여줄 수 있을 것이다.

2. HfO_2 , HfAlO를 게이트 절연막으로 적용한 Oxide-TFT의 전기적 특성 분석

앞서 언급한 활성층, 소스/드레인, 게이트 전극층으로 동시에 이용한 IZO 물질을 기반으로, 전기적, 구조적으로 향상된 성능의 HfO_2 절연막을 적용한 Oxide-TFT를 제작해 그 전기적 특성을 비교, 분석 하였다. 그림 5는 $V_{DS} = 5\text{ V}$ 에서 V_{GS} -1 ~ 6 V 로 증가 시키며 측정한 Log-scale I_{DS} 그래프이다. Ar 가스만을 이용한 HfO_2 절연막 TFT의 경우 Off-current : $8.2 \times 10^{-8}\text{ A}$, On-current : $2.2 \times 10^{-4}\text{ A}$ 로 전류점멸비 2.68×10^3 를 나타내었고, 적절한 산소 유량으로 절연막의 표면 거칠기를 향상 시켜준 HfO_2 적용 TFT의 Off-current : $3.20 \times 10^{-8}\text{ A}$, On-current : $2.0 \times 10^{-4}\text{ A}$ 로 전류점멸비 6.21×10^3 를 나타내었다. Co-sputtered HfAlO 절연막 적용 TFT는 Off-current : $7.41 \times 10^{-9}\text{ A}$, On-current : $2.23 \times 10^{-3}\text{ A}$ 로 전류점멸비 3.0×10^5 를 나타내었는데 Ar 가스만을 적용한 HfO_2 절연막의 전류점멸비에 비해 약 10^2 만큼 향상된 것이다. 이는 향상된 표면 거칠기에 의해 최대 전류량이 늘어났을 뿐 아니라 넓어진 에너지 밴드 갭으로 누설전류를 더욱 줄여줘 Off-current 또한 더 작아졌기 때문이다.

최종적으로 구조적, 전기적으로 TFT에 더욱 적합하게 제작되어진 co-sputtered $\text{HfO}_2\text{-Al}_2\text{O}_3$ 절연막을 이용한 IZO 기반 투명 산화물 반도체의 전기적 특성을 반도체 파라미터 분석기를 이용해 분석하였다. 그림 6은

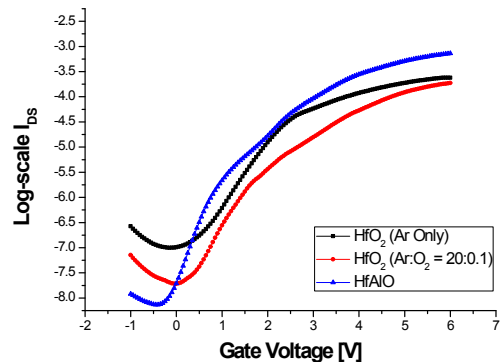


그림 5. HfO_2 와 Co-sputtered HfAlO 적용 Oxide-TFT의 전류점멸비 특성

Fig. 5. I_{on-off} current ratio characteristics of Oxide-TFT with HfO_2 and Co-sputtered HfAlO.

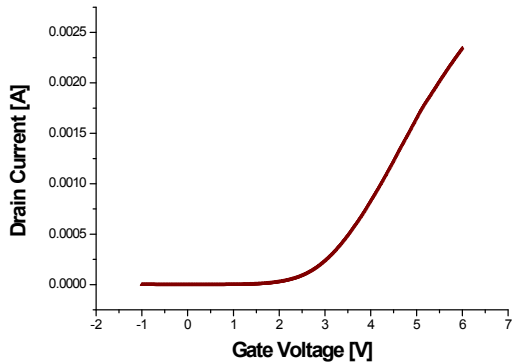


그림 6. HfAlO를 적용한 Oxide-TFT의 V_{G-IdS} 출력 곡선
 Fig. 6. V_{G-IdS} transfer curve of Oxide-TFT with co-sputtered HfAlO.

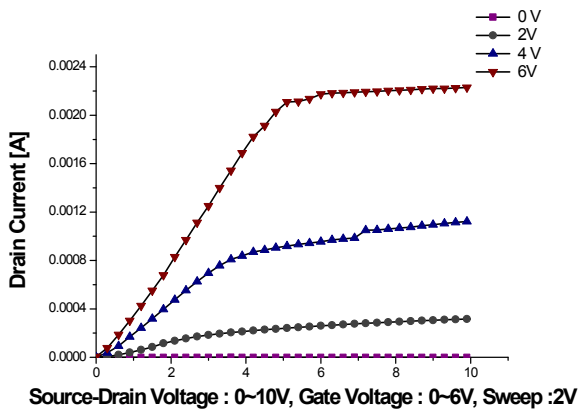


그림 7. HfAlO를 적용한 Oxide-TFT의 V_{DS-IdS} 출력 곡선
 Fig. 7. V_{DS-IdS} output characteristic curve of Oxide-TFT with co-sputtered HfAlO.

$V_{DS} = 5 V$ 로 고정한 채 $V_{G_{\text{Gate}}}$ $-1 \sim 6 V$ 까지 변화시켜 구한 I_{DS} 전류 특성 곡선이고, 그림 7은 $V_{G_{\text{Gate}}}$ 2 V 만큼 sweep 하며 나타낸 V_{DS} ($0 \sim 10 V$)에 대한 I_{DS} 전류 특성 곡선이다. Oxide-TFT의 전기적 특성은 이동도 $10 \text{ cm}^2/V \cdot \text{s}$ 이상, 문턱전압 2 V 이하, 전류점멸비 10^5 이상에 최대전류량은 2 mA 이상을 나타내었다.

IV. 결 론

본 연구에서는 transparent Oxide-TFT의 게이트 절연막으로 쓰이는 고유전 절연체 HfO_2 와 구조적, 전기적으로 TFT에 더욱 적합하게 특성이 향상되어진 co-sputtered $\text{HfO}_2\text{-Al}_2\text{O}_3$ 을 제작하여 그 특성을 비교 분석하였다. HfO_2 와 Al_2O_3 를 co-sputter에 의해 동시 증착하여 제작한 HfAlO 물질은 Al_2O_3 에 의해 기존 HfO_2

의 미세결정구조가 비결정 구조로 바뀌어 HfAlO 박막의 표면 거칠기를 HfO_2 에 비해 더욱 부드럽게 해 주었다. 또한 에너지 밴드 갭 또한 더욱 넓어져 누설전류를 줄여 주었는데, 이는 최종적으로 HfAlO를 게이트 절연막으로 Oxide-TFT에 적용했을 때 그 전기적 특성을 더욱 향상시켜 주었다. 본 연구를 위해 제작되어진 IZO 기반 transparent oxide-TFT는 상온에서 별도의 열처리 공정 없이 물리적 증착법인 스퍼터에 의해서만 shadow-mask를 이용해 원하는 절연층, 활성층, 전극층 각 영역의 패턴을 선택적 그리고 순차적으로 형성하였다. 이는 대면적 OLED 구동을 위한 back-plane 과 유연소자로의 적용 가능성을 보여준다. 여기에 내용을 입력하세요.

참 고 문 헌

- [1] K. Nomura, H. Ota, A. Takagi, T. Kamiya, M. Hirano, and H. Hosono, Nature 432, 488 (2004)
- [2] Kimmon Lee, Jae Hoon Kim, Seongil Im, Chang Su Kim, and Hong Koo Baik, APL, 89, 133507 (2006)
- [3] Y. L. Wang, W. T. Lim, D. P. Norton, S. J. Pearton, I. I. Kravchenko, J. M. Zavada, APL, 90, 232103 (2007)
- [4] H. Q. Chiang, J. F. Wager, R. L. Hoffman, J. Jeong, D. A. Keszler, APL, 86, 013503 (2005)
- [5] S. Kwon, J. W. Park, Philip D. Rack, Electrochemical and Solid-State Letters, 12 (7), H278-H280 (2009)
- [6] B. Yaglioglu, H. Y. Yeom, R. Beresford, and D. C. Paine, APL, 89, 062103 (2006)
- [7] D. C. Paine, B. Yaglioglu, Z. Beiley, S. H. Lee, Science Direct, 516, 5894-5898 (2008)
- [8] E. Fortunato, P. Barquinha, A Pimentel, L. Pereira, G. Goncalves, and R. Martins, Phys. Stat. sol. (RRL) 1, No. 1, R34-R36 (2007)
- [9] E. Fortunato, P. Barquinha, G. Goncalves, L. Pereira, R. Martin, Science Direct 52, 443-448, (2008)
- [10] Seongpil Chang, Yong-Won Song, Sanggyu Lee, Sang Yeol Lee, and Byeong-Kwon Ju, APL, 92, 192104 (2008)
- [11] W. T. Lim, S. H. Kim, Y. L. Wang, J. W. Lee, D. P. Norton, S. J. Pearton, F. Ren, and I. I. Kravchenko, Journal of The Electrochemical Society, 155 (6) H383-H385 (2008)
- [12] Z. L. Pei, L Pereira, G. goncalves, P. Barquinha, N. Franco, E.Alves, A. M. B. Rego, R. Martins,

and Fortunato, Electrochemical and Solid-state Letters, 12 (10) G65-G68 (2009)

- [13] Luis Pereira, Pedro Barquinha, Goncalo Goncalves, Anna Vila, Antonis Olziersky, Joan Morante, Elvira Fortunato, and Rodrigo Martins, Phys. Status Solidi A 206, No. 9, 2149-2154 (2009)
- [14] R. Wallace and G. Wilk, MRS Bull, 27, 192 (2002)
- [15] H. R. Jones and M. K. Wiles, J. Phys. Chem. 78, 8356 (1999)

저 자 소 개



손희근(학생회원)
2009년 동아대학교 전자공학과
학사 졸업
2011년 부산대학교 전기전자
공학부 석사 졸업
<주관심분야 :Oxide TFT>



양정일(학생회원)
2010년 동아대학교 전자공학과
학사 졸업.
2010년~현재 부산대학교 전기
전자공학부 석사 과정
<주관심분야 : Oxide TFT>



조동규(학생회원)
2009년 부경대학교 전자공학과
학사 졸업
2010년~현재 부산대학교 전기
전자공학부 석사 과정
<주관심분야 :Oxide TFT>



우상현(학생회원)
2011년 부경대학교 전자공학과
학사 졸업.
2011년~현재 부산대학교 전기
전자공학부 석사 과정
<주관심분야 :Oxide TFT>



이동희(학생회원)
2011년 부산대학교 전자공학과
학사 졸업.
2011년~현재 부산대학교 전기
전자공학부 석사 과정
<주관심분야 :Oxide TFT>



이문석(정회원)
1991년 포항공과대학교 전자전기
공학과 학사 졸업.
1995년 포항공과대학교 전자전기
공학과 석사 졸업.
1999년 포항공과대학교 전자전기
공학과 박사졸업.

1999년 7월~2002년10월 미국 LBNL. Post
Doc./Staff Scientist

2002년12월~2004년8월 삼성전자 반도체총괄
책임연구원

2004년 9월~현재 부산대학교 전자전기공학부
부교수.

<주관심분야 : 반도체 소자, 공정, Oxide TFT>